

Электролитические танталовые объёмно-пористые

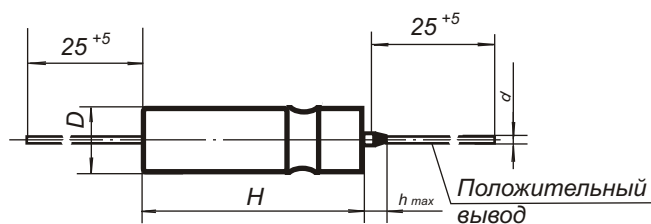
K52-9

ОЖО. 464.213 ТУ приёмка "5"

ОЖО. 464.213 ТУ ОЖО.464.200 ТУ приёмка "9"

Предназначены для работы в цепях постоянного, и пульсирующего тока и в импульсном режиме. Изготавливаются во всеклиматическом исполнении (В).

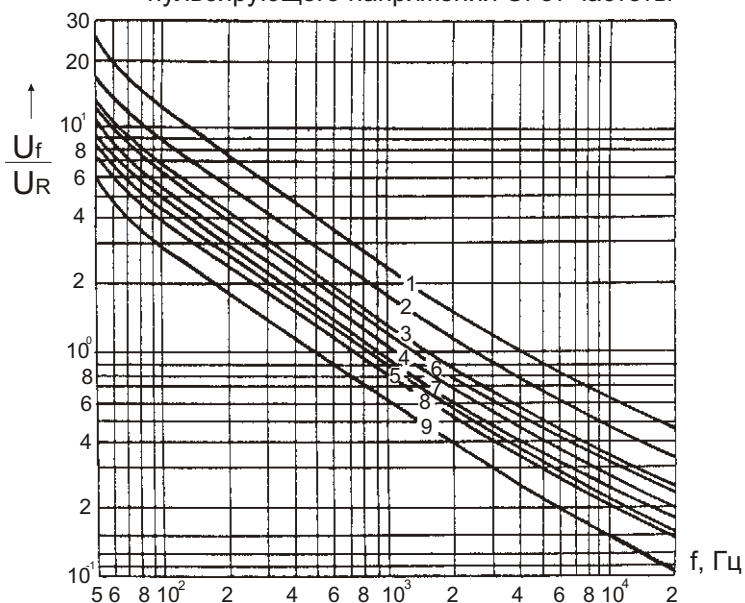
| | |
|--|--|
| Номинальное напряжение | 6,3 – 125 В |
| Номинальная емкость | 1,5 – 1000 мкФ |
| Допустимые отклонения емкости (20 С, f=50Гц) | 10 %; 20 %; 30 % |
| Интервал рабочих температур | -60 С...+125 С |
| Срок сохраняемости | 25 лет |
| Ток утечки: при $C_{ном}U_{ном} < 4000$ мкКл при $C_{ном}U_{ном} > 4000$ мкКл | (0,002 $C_{ном}U_{ном} + 1$) мкА (0,003 $C_{ном}U_{ном} + 1$) мкА |
| Тангенс угла потерь | 5 - 35% |
| Полное сопротивление на частоте 10 кГц | 1,2 – 50 Ом |
| Минимальная наработка: при $U_{ном}$ и $t = +125$ С при $U_{ном}$ и $t = +85$ С при $0,7U_{ном}$ и $t = +70$ С | 1 000 часов 5 000 часов 30000 часов |



| D x H, мм | h _{max} , мм | d, мм |
|-----------|-----------------------|-------|
| 4,8 x 18 | 6,5 | 0,6 |
| 6 x 20 | 5 | 0,6 |
| 7,5 x 22 | 5 | 0,8 |
| 9 x 30 | 5 | 0,8 |

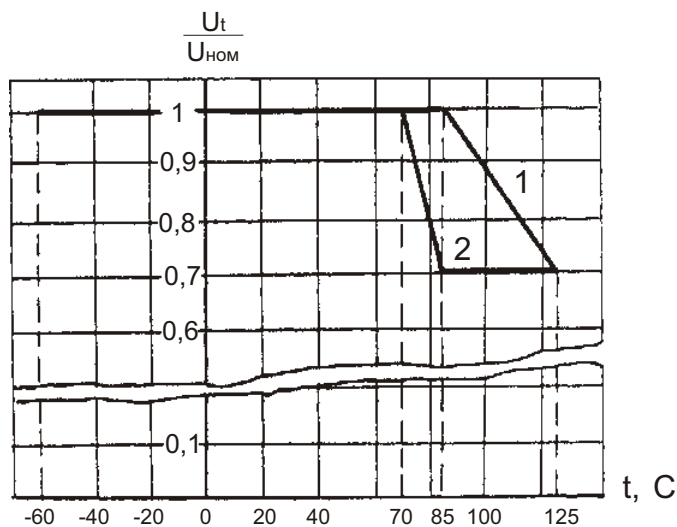
| Номинальное напряжение, В | 6,3 | 16 | 25 | 32 | 50 | 63 | 100 | 125 |
|---------------------------|-----------------------|-----------------|-----------------|-----------------|-----------------|-----------------|-----------------|-----------------|
| Номинальная емкость, мкФ | D x H, мм масса, г | | | | | | | |
| 1,5 | | | | | | | | 4,8 x 18 3,5 |
| 2,2 | | | | | | | | 4,8 x 18 3,5 |
| 3,3 | | | | | | | | 4,8 x 18 3,5 |
| 4,7 | | | | | | | | 4,8 x 18 3,5 |
| 6,8 | | | | | | | 4,8 x 18 3,5 | |
| 10 | | | | | | 4,8 x 18 3,5 | 6 x 20 6,5 | |
| 15 | | | | | 4,8 x 18 3,5 | | 6 x 20 6,5 | |
| 22 | | | | 4,8 x 18 3,5 | | 6 x 20 6,5 | | 7,5 x 22 10 |
| 33 | | | 4,8 x 18 3,5 | | 6 x 20 6,5 | | 7,5 x 22 10 | |
| 47 | | 4,8 x 18 3,5 | | 6 x 20 6,5 | | 7,5 x 22 10 | | |
| 68 | 4,8 x 18 3,5 | | 6 x 20 6,5 | | 7,5 x 22 10 | | | |
| 100 | | 6 x 20 6,5 | | 7,5 x 22 10 | | | 9 x 30 18 | |
| 150 | 6 x 20 6,5 | | 7,5 x 22 10 | | | | 9 x 30 18 | |
| 180 | | | | | 9 x 30 18 | | | |
| 220 | 6 x 20 6,5 | 7,5 x 22 10 | | | | | | |
| 270 | | | | | 9 x 30 18 | | | |
| 330 | 7,5 x 22 10 | | | | | | | |
| 390 | | | 9 x 30 18 | | | | | |
| 470 | 7,5 x 22 10 | | | | | | | |
| 560 | | 9 x 30 18 | | | | | | |
| 1000 | 9 x 30 18 | | | | | | | |

Зависимость допускаемой амплитуды переменной синусоидальной составляющей пульсирующего напряжения U_f от частоты



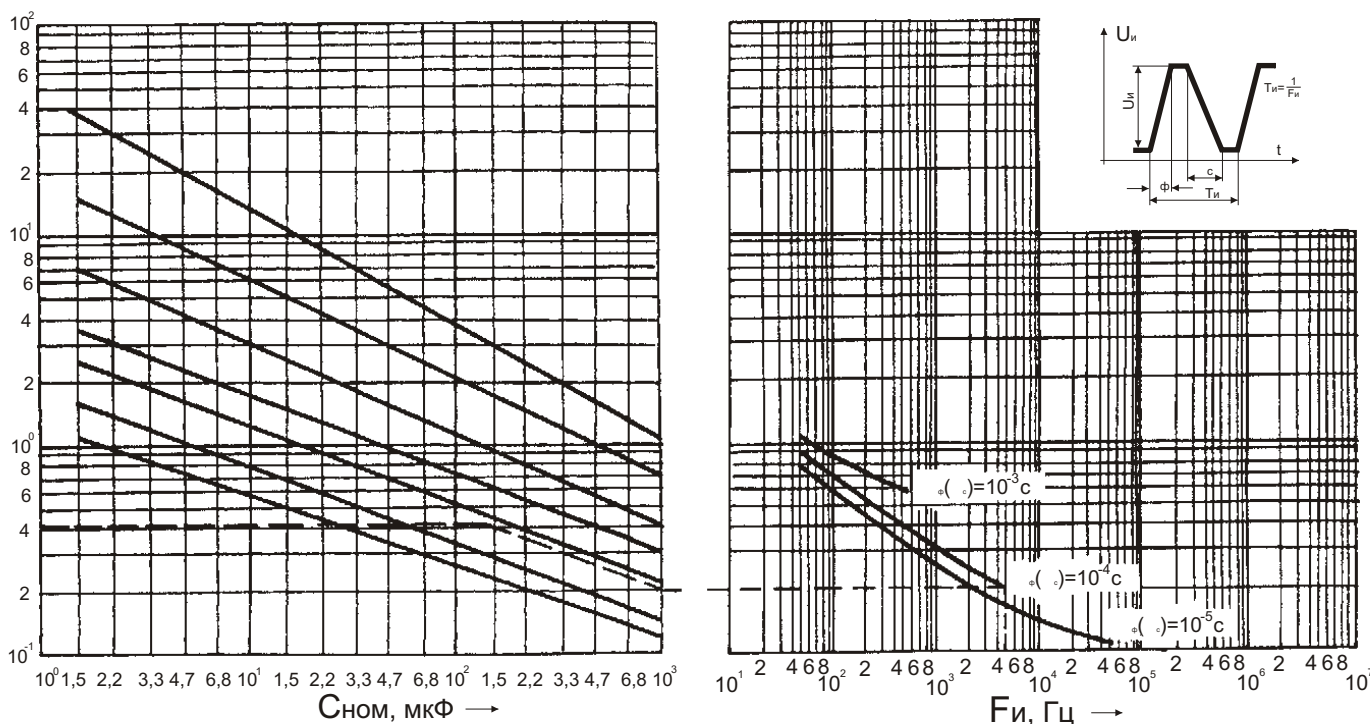
- 1- для конденсаторов на $U_{ном}=6,3В$
- 2- для конденсаторов на $U_{ном}=16В$
- 3- для конденсаторов на $U_{ном}=25...50В$
- 4- для конденсаторов на $U_{ном}=63В$
- 5- для конденсаторов на $U_{ном}=100В$
- в облегчённых режимах и при $t=+125\text{ C}$
- 2- для конденсаторов на $U_{ном}=6,3В$
- 6- для конденсаторов на $U_{ном}=16В$
- 7- для конденсаторов на $U_{ном}=25...50В$
- 8- для конденсаторов на $U_{ном}=63В$
- 9- для конденсаторов на $U_{ном}=100В$

Зависимость напряжения от температуры



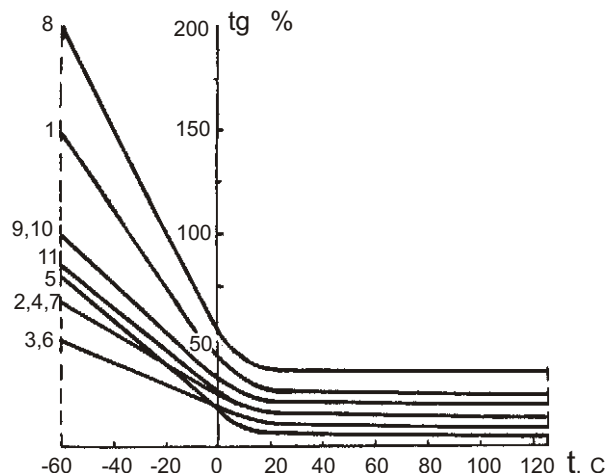
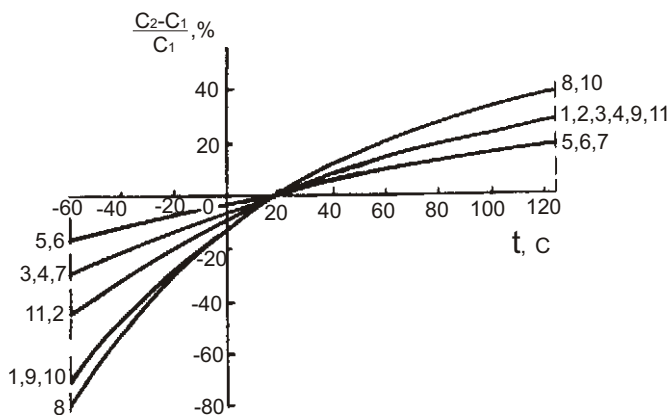
- 1- для конденсаторов на $U_{ном}=6,3...125В$
 $\varnothing 4,8\text{ мм}; 6,0\text{ мм}; 7,5\text{ мм}$
 $U_{ном}=6,3...32В \varnothing 9,0\text{ мм}$
- 2- для конденсаторов на $U_{ном}=50...100В \varnothing 9,0\text{ мм}$

Зависимость допускаемого размаха импульсного напряжения $U_{и}$ от частоты следования импульсов $F_{и}$ и длительности наименьшего из временных интервалов, соответствующих фронту фила спаду фимпульса и номинальной ёмкости $C_{ном}$



Пример. Дано: $C_{ном}=150\text{мкФ}$ Находим: $U_{и}=0,4В$
 $F_{и}=5\text{кГц}$
 $\phi=10^{-4}\text{ c}$

Характер зависимости изменения ёмкости, тангенса угла потерь от температуры



| Номер группы | 1 | 2 | 3 | 4 | 5 | 6 | 7 | 8 | 9 | 10 | 11 |
|-------------------------|--|--|---|--------------------|---------------------------------|--|---------|------------------------------------|-----------------------------------|----------|----------------------------------|
| Уном x Сном, В x мкФ | 6,3 x 68 6,3 x 330 6,3 x 150 6,3 x 470 6,3 x 220 | 6,3 x 22 50 x 68 50 x 33 32 x 47 25 x 68 32 x 100 | 63 x 47 100 x 15 100 x 33 125 x 10 125 x 22 | 16 x 47 25 x 33 | 50 x 15 63 x 10 100 x 6,8 | 125 x 4,7 125 x 3,3 125 x 2,2 125 x 1,5 | 32 x 22 | 6,3 x 1000 16 x 560 25 x 390 | 50 x 180 63 x 150 100 x 100 | 32 x 270 | 16 x 100 16 x 220 25 x 150 |

Характер зависимости полного сопротивления от частоты

